

*Дуйшеналиев Т.Б., Сарсенов Б.Т.*

*Кыргызский государственный технический университет им. И.Раззакова,*

*г. Бишкек, [sarsenovbak@mail.ru](mailto:sarsenovbak@mail.ru)*

*Kyrgyz State Technical University named after I.Razzakov, Bishkek, [sarsenovbak@mail.ru](mailto:sarsenovbak@mail.ru)*

*Рассмотрена модельная задача для исследования процессов распространения и дифракции сейсмических волн в земной коре вследствие сброса тектонических напряжений на глубинных трещинах, и их воздействия на наземные сооружения. Решена контактная нестационарная краевая задача для упругого полупространства, на границе которого находится упругое тело с условиями жесткого сцепления на контактной поверхности. Исследуется процесс дифракции и преломления волн, порождаемых сбросом напряжений на горизонтальной трещине в упругом полупространстве. Для решения задачи используется численный метод бихарактеристик. Исследовано напряженно-деформированное состояние поверхностного включения при преломлении сейсмических волн в зависимости от его расстояния от эпицентра при сбросе вертикальных напряжений на трещине.*

Для решения нестационарных задач в упругих средах одним из наиболее удобных в приложениях методов является метод бихарактеристик с использованием идей метода расщепления, развитый Г.Т. Тараб-риным [1]. В настоящей работе используется метод, развитый для решения контактных задач взаимодействия упругих тел с угловыми точками в условиях плоской деформации [2,3]. Принята явная разностная схема, построенная на основе метода бихарактеристик с привлечением идеи расщепления по пространственным координатам. Получены разрешающие разностные уравнения для внутренних, граничных, угловых, особых и контактных точек сопряжения полосы и полуплоскости. Для моделирования процесса сброса напряжений на трещине используются сингулярные обобщенные функции по методу, предложенному в [4].

Проведены численные эксперименты по определению напряженно-деформированного состояния упругого полупространства и упругого тела при сбросе вертикальных и горизонтальных напряжений на трещине с использованием физико-механических параметров, типичных для горных пород и строительных сооружений. Построены осциллограммы скоростей перемещений дневной поверхности и упругого тела и

дифракционные картины полей скоростей и напряжений при отражении и преломлении ударных волн. Исследовано влияние параметров массива, глубины трещины и характера возникающих ударных волн на напряженно-деформированное состояние среды и упругого тела. Также изучено напряженно-деформированное состояние упругого тела (сооружения) в зависимости от расстояния до эпицентра.

**Постановка контактной задачи.** Рассмотрим составную неоднородную упругую среду: полупространство  $x_1 \geq 0$  упругой однородной изотропной среды  $D_1$  с плотностью  $\rho_1$  и коэффициентами Ламе  $\lambda_1$  и  $\mu_1$ , а также упругое изотропное прямоугольное тело  $D_2$  с высотой  $d_1$  и шириной  $2d_2$ , расположенное на упругом полупространстве  $D_1$ , и с плотностью  $\rho_2$ , коэффициентами Ламе  $\lambda_2, \mu_2$  в условиях плоской деформации при сбросе напряжений на горизонтальной трещине  $S$ , которая расположена на глубине  $L$  ( $x_1 = L, |x_2| \leq d$ ) (рис.1).

В начальный момент времени среда находится в состоянии покоя

$$\mathbf{u}^{(k)} = 0, \quad \dot{\mathbf{u}}^{(k)} = 0 \quad (k = 1, 2), \quad (1)$$

при свободных от воздействующих нагрузок на границе полупространства и включения:

$$\sigma_{1j}^{(1)} = 0 \quad (j=1,2), \quad \text{при } x_1 = 0, \quad |x_2 - d_3| > d_2, \quad (2)$$

$$\sigma_{1j}^{(2)} = 0 \quad (j=1,2), \quad \text{при } x_1 = -d_1, \quad |x_2 - d_3| \leq d_2, \quad (3)$$

$$\sigma_{2j}^{(2)} = 0 \quad (j=1,2), \quad \text{при } |x_2 - d_3| = d_2, \quad 0 \leq x_1 \leq d_1 \quad (4)$$

А условия на контактной границе отвечают требованиям полного сцепления :

$$v_i^{(1)} = v_i^{(2)}, \quad \sigma_{1j}^{(1)} = \sigma_{1j}^{(2)} \quad (i,j=1,2), \quad \text{при } x_1 = 0, \quad |x_2 - d_3| \leq d_2. \quad (5)$$

Здесь  $\sigma_{ij}^{(k)}$  - компоненты тензора напряжений  $k$ -ой среды,  $v_j^{(k)}$  - компоненты скоростей перемещений этих сред. Так как на бесконечности отсутствуют источники колебания, то очевидным является требование, чтобы на бесконечности выполнялись условия затухания:

$$u_j \rightarrow 0, \quad \sigma_{ij} \rightarrow 0 \quad (i,j=1,2) \quad \text{при } \|x\| \rightarrow \infty.$$

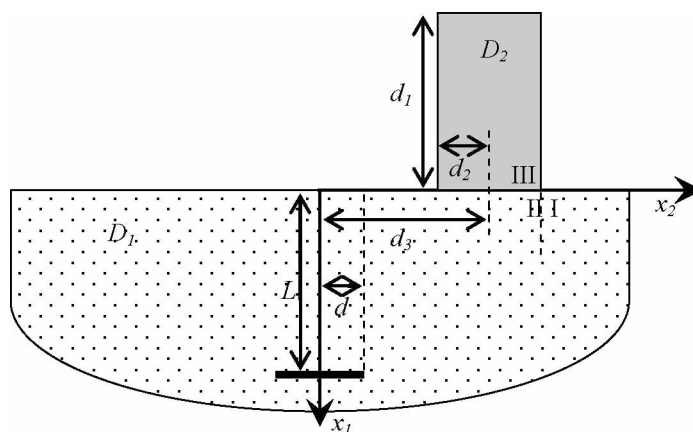


Рисунок 1 – Расчетная область

При описанных условиях необходимо исследовать напряженно – деформированное состояние неоднородной среды  $D_1 \cap D_2$  при  $t > 0$

**Определяющие уравнения.** Для описания движения упругой среды используются две системы дифференциальных уравнений:

$$\sigma_{i\beta,\beta}^{(k)} + F_i^{(k)} = \rho_k \frac{\partial^2 u_i^{(k)}}{\partial t^2} \quad (i, k, \beta = 1, 2), \quad (6)$$

и соотношения обобщенного закона Гука:

$$\sigma_{ij}^{(k)} = \lambda_k u_{\beta,\beta}^{(k)} \delta_{ij} + \mu_k (u_{i,j}^{(k)} + u_{j,i}^{(k)}) \quad (i,j,k,\beta = 1, 2) \quad (7)$$

Здесь по повторяющимся греческим индексам проводится суммирование от 1 до 2 (тензорная свертка),  $F_i^{(k)}$  - компоненты объемной силы.

Для моделирования сброса напряжений на трещине в полупространстве введена объемная сила, компоненты  $F_i^{(1)}$  которой определяются сингулярной обобщенной функцией – простым слоем на горизонтальной трещине  $S$  [4].

Решение задачи удобно отыскивать в безразмерном пространстве переменных и искомым параметров, которые получаются после введения обозначений [3]

$$c_1^{(k)} = \frac{c_1^{(k)*}}{c_1^{(m)*}}; \quad c_2^{(k)} = \frac{c_2^{(k)*}}{c_1^{(m)*}}; \quad x_i = \frac{x_i^*}{L^*}; \quad t = \frac{t^* c_1^{(m)*}}{L^*};$$

$$\rho_k = \frac{\rho_k^*}{\rho_m^*}; \quad v_i^{(k)} = \frac{\dot{u}_i^{(k)*}}{c_1^{(m)*}}; \quad \sigma_{ij}^{(k)} = \frac{\sigma_{ij}^{(k)*}}{\rho_m^* (c_1^{(m)*})^2}; \quad F_i^{(k)} = \frac{F_i^{(k)*} L^*}{\rho_m^* (c_1^{(m)*})^2};$$

$$\gamma_{11}^{(k)} = \gamma_{22}^{(k)} = \rho_k (c_1^{(k)})^2; \quad \gamma_{12}^{(k)} = \gamma_{21}^{(k)} = \rho_k (c_2^{(k)})^2; \quad \gamma_{33}^{(k)} = \gamma_{11}^{(k)} - 2\gamma_{12}^{(k)}$$

Здесь индекс \* придается размерным величинам; индекс  $m$  относится к материалу, в котором ско-

рость продольных волн является наибольшей;  $c_1^{(k)*} = \sqrt{\frac{\lambda_k^* + 2\mu_k^*}{\rho_k^*}}$ ,  $c_2^{(k)*} = \sqrt{\frac{\mu_k^*}{\rho_k^*}}$  – скорости распростране-

ния продольных и поперечных волн в  $k$ -той среде;  $L^*$  –характерный линейный размер;  $t$  – время.

После введения безразмерных величин, из уравнений (6), (7) после простых преобразований можно получить ( $i, j, k = 1, 2$ ):

$$\rho_k \dot{v}_i^{(k)} = \sigma_{i\beta, \beta}^{(k)} + F_i^{(k)}$$

$$\dot{\sigma}_{ij}^{(k)} = \gamma_{ij}^{(k)} (v_{i,j}^{(k)} + v_{j,i}^{(k)}) \frac{1}{(1 + \delta_{ij})} + \gamma_{33}^{(k)} (v_{\beta, \beta}^{(k)} - v_{i,j}^{(k)}) \delta_{ij} \quad (11)$$

Уравнения (11) представляют собой линейную неоднородную гиперболическую систему дифференциальных уравнений первого порядка с постоянными коэффициентами. Её характеристические поверхности в трехмерном пространстве ( $x_1; x_2; t$ ) представляют собой конусы с осями, параллельными оси времени. Система уравнений (11) имеет два семейства характеристических конусов. Эти конусы совпадают с бихарактеристиками уравнений (11).

Процедуры получения разрешающихся разностных систем уравнений для (11) относительно неизвестных  $\sigma_{ij}$  и  $v_i$  ( $i, j=1, 2$ ) в узловых точках  $A$  исследуемого тела в момент времени  $t_n + \tau$  различны для внутренних и граничных точек исследуемой области (подробно см. [2, 3, 5]).

Разработанная методика решения динамических задач позволяет определить скорости  $v_i$  и компоненты тензора напряжения  $\sigma_{ij}$  в точке  $A$  на каком-нибудь слое времени  $t=t_0 + \tau$ , если известны их значения на предыдущем слое  $t=t_0$ .

**Дифракция преломленных волн при сбросе вертикальных напряжений на трещине.** Расчет был произведен для грунта ( $D_1$ ) и ( $D_2$ ) бетона при следующих безразмерных значениях исходных данных:  $\rho_1=1$ ;  $c_1^{(1)}=0.964$ ;  $c_2^{(1)}=0.557$ ;  $\rho_2=1$ ;  $c_1^{(2)}=1$ ;  $c_2^{(2)}=0.612$ ;  $\tau=0.025$ ;  $h=0.05$ ;  $d_1=1$ ;  $d_2=0.5$ ,  $L=4.8$ ;  $d=0.45$ ;  $d_3$  варьируется  $d_3=0$  и  $d_3=5$ .

Скачок напряжений на трещине задается в виде

$$P_1(x, t) = 20 \cdot t \cdot e^{-10t} H(t), \quad P_2(x, t) = 0,$$

и параметр дельтаобразной функции  $\varepsilon = h=0.05$ .

Дифракцию упругих волн в упругой полуплоскости при сбросе вертикальных и горизонтальных напряжений на трещинах в отсутствие поверхностных включений мы рассмотрели в [5]. Здесь дадим анализ результатов преломления упругих волн при сбросе вертикальных напряжений на трещине (трещина разрыва) на поверхностном включении с момента времени при разном расстоянии включения от эпицентра: для  $d_3=0$  (включение в эпицентре и) и для  $d_3=5$  (включение на расстоянии 5 от эпицентра).

На рисунках 2а,б представлены векторные поля скоростей точек тела  $D_2$  в момент времени, когда преломленные волны распространились до середины включения. При  $d_3=0$  (рис.2а) распространяется только продольная волна, и можно заметить эффект взаимодействия с боковой поверхностью. А при  $d_3=5$  (рис.2б) за продольной волной следует и поперечная волна, что соответствует типу воздействия. Здесь тоже заметен эффект взаимодействия, но сильнее с правой стороны. Это объясняется тем, что включение стоит справа от эпицентра.

На рисунках 3а,б представлены векторные поля скоростей точек тела  $D_2$  в момент времени, когда преломленная волна только добежала до верхнего торца. На рисунке 3а можно заметить, что за продольной волной начинается образование слабых поперечных волн, а на рисунке 3б можно заметить, что отраженная с правой боковой стороны волна подхваченная поперечной волной, добежала до левой стороны.

На рисунках 4а,б представлены векторные поля скоростей точек тела  $D_2$  в момент времени, когда преломленные волны отразились от верхнего торца. Здесь наблюдается сложная дифракционная картина. На рисунке 4а можно заметить, что верхние угловые точки работают как источники продольной и поперечной волн.

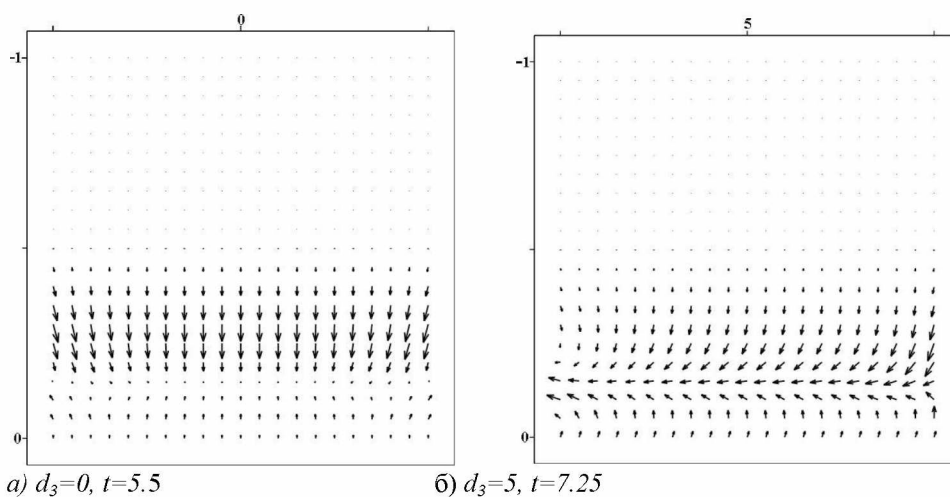


Рисунок 2 - Векторное поле скоростей в  $D_2$

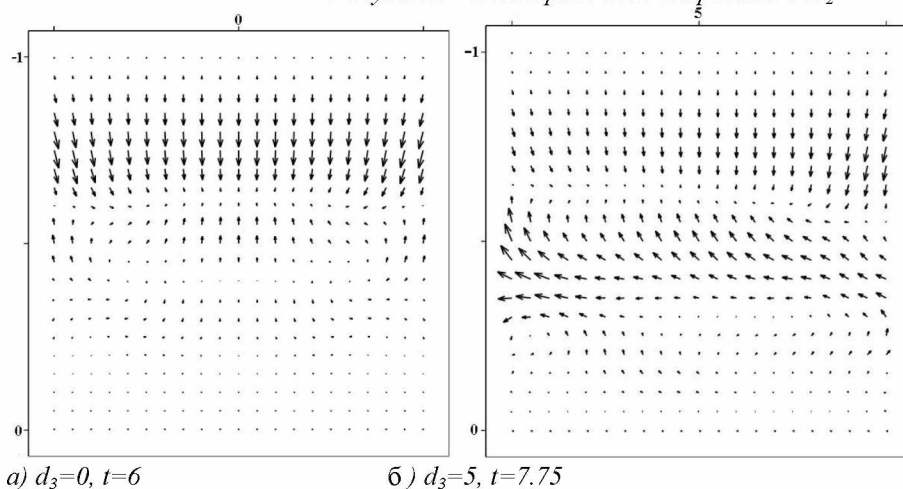


Рисунок 3 - Векторное поле скоростей в  $D_2$  при подходе преломленных волн к верхнему торцу

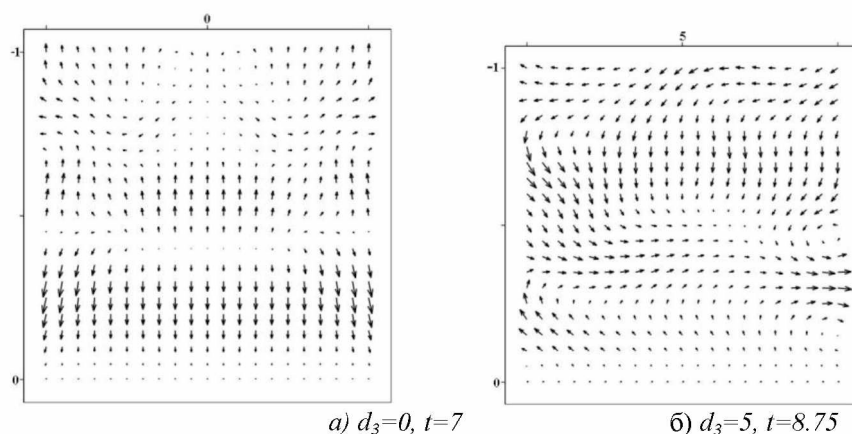
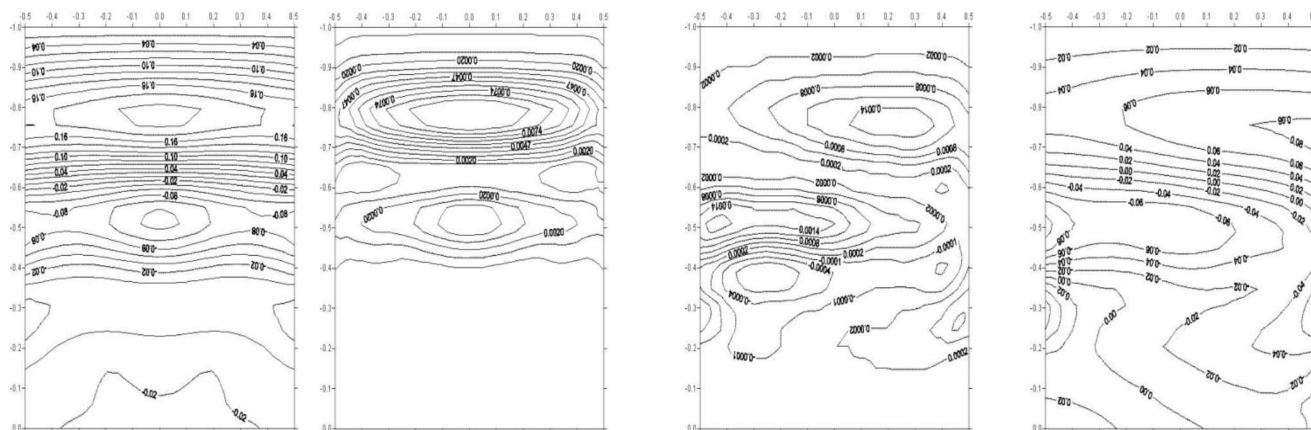


Рисунок 4. - Векторное поле скоростей тела  $D_2$  в момент времени, когда преломленные волны отразились от верхнего торца

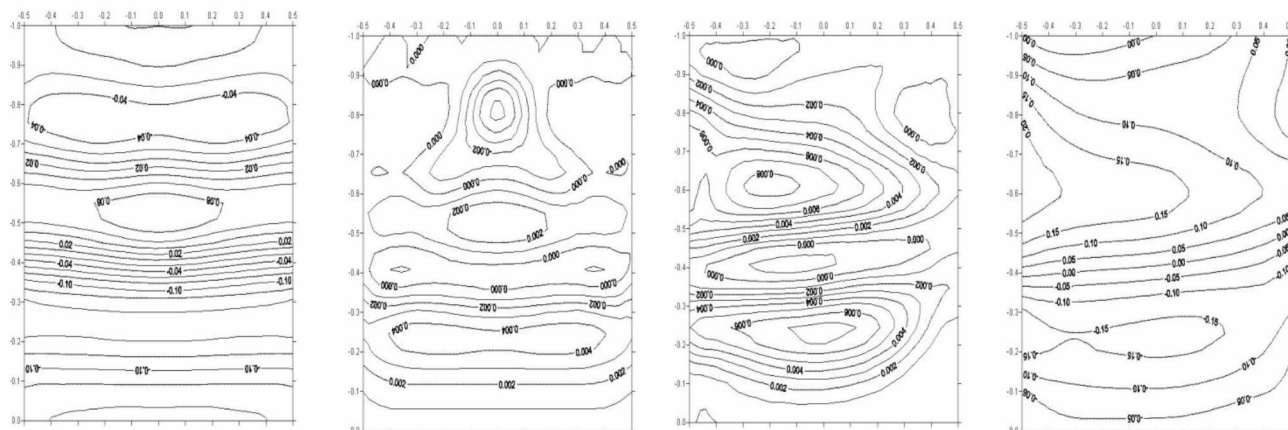
На рисунках 5 - 6, представлены изолинии первого и второго инвариантов тензора напряжений, которые характеризуют распределение давления и интенсивность касательных напряжений в исследуемом теле. Эти инварианты также характеризуют объемные и сдвиговые деформации в теле.



а)  $d_3=0, t=6$

б)  $d_3=5, t=7.75$

Рисунок 5-Изолинии первого и второго инвариантов тензора напряжения в  $D_2$  до отражения преломленных волн от верхнего торца



а)  $d_3=0, t=7$

б)  $d_3=5, t=8.75$

Рисунок 6- Изолинии первого и второго инвариантов тензора напряжения в  $D_2$ , когда преломленные волны отразились от верхнего торца

### Литература

1. Тарабрин Г.Т. Применение метода бихарактеристик для решения нестационарных задач динамики анизотропных массивов.// М., Строительная механика и расчет сооружений, 1981, № 4, стр. 38 – 43.
2. Джузбаев С.С. Контактное взаимодействие упругих тел при нестационарных динамических нагрузках: Диссертация на соискание ученой степени кандидата физико – математических наук. - Туркестан, 1997. - 134 с.
3. Джузбаев С.С., Сарсенов Б.Т. Динамическое напряженное состояние полосы при боковом импульсном давлении.// Математический журнал. Алматы. 2003. Том 3. №1(7). стр. 55 – 62 ()
4. Алексеева Л.А., Дильдабаева И.Ш. Обобщенное решение уравнений динамики упругой среды с криволинейной трещиной при плоской деформации// Математический журнал, 2007, Т7, №2(25), стр. 19 – 31.
5. Алексеева Л.А., Сарсенов Б.Т. Модель динамики среды в окрестности очага землетрясения // Сб. научн. трудов НИИ РК. Методы экспериментальной физики. Алматы. – 2010. – С. 63-73.

## ПРЯМЫЕ И ОБРАТНЫЕ СТАЦИОНАРНЫЕ КРАЕВЫЕ ЗАДАЧИ ДИНАМИКИ ТЕРМОУПРУГИХ СТЕРЖНЕЙ

Алексеева Л.А.

*Институт математики и математического моделирования КН МОН РК,  
Алматы, Казахстан, alexeeva@math.kz*

Стержневые конструкции широко используются в машиностроении в качестве соединительных и передаточных звеньев для конструктивных элементов самых разных машин и механизмов. В процессе эксплуатации они подвергаются переменным механическим и термическим воздействиям, которые создают сложное напряженно-деформированное состояние в конструктивных элементах, зависящее от их температуры, и влияющее на их прочность и надежность. Поэтому определение термо-напряженного состояния стержневых конструкций с учетом их механических свойств (в частности, упругости) относится к числу актуальных научно-технических проблем.

Изучение термодинамических процессов методом математического моделирования приводит к краевым задачам для термоупругих сред, которые описываются системами дифференциальных уравнений смешанного гипербола-параболического типа. Существуют различные модели термоупругих сред. При изучении медленных динамических процессов чаще используется модель *несвязанной термоупругости*, в которой не учитывается влияние движения среды на ее температурное поле.

Быстрые вибрационные процессы в конструкциях влияют на температурное поле в них. При изучении таких процессов следует использовать модель *связанной термоупругости*. Здесь рассмотрены краевые задачи (КЗ) стационарных колебаний термоупругого стержня с использованием этой модели в предположении, что известны действующие на него силы и тепловые источники. На основе метода обобщенных функций построено аналитическое решение краевой задачи при заданных перемещениях и температуре на концах стержня.

**1. Постановка краевых задач.** Рассмотрим термоупругий стержень длины  $2L$ , который характеризуется плотностью  $\rho$ , жесткостью  $EJ$  и термоупругими константами  $\gamma$ ,  $\eta$  и  $\kappa$  [1,2]. Перемещения сечений стержня и температурное поле стержня описывается системой гипербола-параболических уравнений вида:

$$\begin{aligned} \rho c^2 u_{,xx} - \rho u_{,tt} - \gamma \theta_{,x} + \rho F_1 &= 0, \\ \theta_{,xx} - \kappa^{-1} \theta_{,t} - \eta u_{,xt} + F_2 &= 0. \end{aligned} \quad (1)$$

Здесь  $u(x,t)$  - компоненты продольных смещений,  $\theta(x,t)$  - относительная температура ( $\theta = T(x,t) - T(x,0)$ ),  $T$  - абсолютная температура,  $c$  - скорость распространения упругих волн в стержне,  $\rho$  - погонная плотность,  $c = \sqrt{\frac{EJ}{\rho}}$ . Предполагается, что на стержень действует периодическая во времени сила вида

$$F_1(x,t) = F_1(x) \exp(-i\omega t), \quad (2)$$

а  $F_2 = (\lambda_0 \kappa)^{-1} W(x,t)$ ,  $W(x,t) = W(x) \exp(-i\omega t)$ , где  $W$  - количество выделенного (поглощенного) тепла на единицу объема за единицу времени,  $\lambda_0$  - коэффициент теплопроводности. Символ после запятой обозначает частную производную по указанной в индексе переменной ( $u_{,x} = \frac{\partial u}{\partial x}$  и т.д.).

Термоупругое напряжение в стержне определяется формулой:

$$\sigma = \rho c^2 u_{,x} - \gamma \theta \quad (3)$$

**Краевые условия** на концах стержня ( $x = x_1 = -L$ ,  $x = x_2 = L$ ) могут быть различными. Здесь сформулируем их для четырех краевых задач, обычно рассматриваемых в классической теории термоупругости [1,2]:

$$1 \text{ КЗ } u(x_j, t) = w_j \exp(-i\omega t), \quad \theta(x_j, t) = \theta_j \exp(-i\omega t); \quad j = 1, 2 \quad (4)_1$$

$$2 \text{ КЗ } \sigma(x_j, t) = P_j \exp(-i\omega t), \quad \theta_{,x}(x_j, t) = q_j \exp(-i\omega t); \quad j = 1, 2 \quad (4)_2$$

$$3 \text{ КЗ } u(x_j, t) = w_j \exp(-i\omega t), \quad \theta_{,x}(x_j, t) = q_j \exp(-i\omega t); \quad j = 1, 2 \quad (4)_3$$

$$4 \text{ КЗ } \sigma(x_j, t) = P_j \exp(-i\omega t), \quad \theta(x_j, t) = \theta_j \exp(-i\omega t); \quad j = 1, 2 \quad (4)_4$$

$w_j, \theta_j, P_j, q_j$  - комплексные амплитуды,  $\omega$  - частота колебаний. Наряду с ними можно поставить краевые задачи, когда на одном конце стержня задаются условия одной краевой задачи, а на втором – условия другой. Это прямые краевые задачи.

К обратным задачам отнесем те, для которых из 4-х краевых условий на одном из концов задаются 3 (или 4) условия на перемещения, напряжения, температур и тепловой поток, а на другом лишь одно на одну из этих величин (либо соответственно вообще они неизвестны). Требуется найти решение этих задач.

**2. Обобщенное решение краевой задачи.** В силу гармоничности по времени действующих сил и граничных условий, решение задачи можно искать в виде  $(u, \theta) = (u(x), \theta(x)) \exp(-i\omega t)$ , где комплексные амплитуды  $(u(x), \theta(x))$  удовлетворяют следующей системе дифференциальных уравнений

$$\rho c^2 u_{,xx} + \rho \omega^2 u - \gamma \theta_{,x} + \rho F_1(x) = 0, \quad (5)$$

$$\theta_{,xx} + i\omega \kappa^{-1} \theta + i\omega \eta u_{,x} + F_2(x) = 0.$$

Определим комплексные амплитуды решения, удовлетворяющие (5) и условиям (4) соответственно решаемой КЗ, если  $F_1(x), F_2(x)$  принадлежат классу обобщенных функций медленного роста  $S'(R^1)$  [3].

Для решения задачи используется метод обобщенных функций, основные идеи которого изложены в [4]. Для этого представим обобщенное решение КЗ в виде

$$(\hat{u}(x), \hat{\theta}(x)) = (u(x), \theta(x)) H(L - |x|),$$

где  $H(x)$  -- функция Хевисайда, равная 0.5 в точке разрыва,  $(u(x), \theta(x))$  -- ее классическое решение. Из (4), используя операцию дифференцирования регулярных кусочно-дифференцируемых обобщенных функций [3], получим на  $S'(R^1)$ :

$$\begin{aligned} \rho c^2 \hat{u}_{,xx} + \rho \omega^2 \hat{u} - \gamma \hat{\theta}_{,x} = & \rho c^2 (u(-L)\delta'(x+L) - u(L)\delta'(x-L)) + \\ & + \rho c^2 ((u_{,x}(-L)\delta(x+L) - u_{,x}(L)\delta(x-L))) - \\ & - \gamma \theta(-L)\delta(x+L) + \gamma \theta(L)\delta(x-L) - \rho F_1(x)H(L - |x|), \end{aligned} \quad (6)$$

$$\begin{aligned} \hat{\theta}_{,xx} + i\omega \kappa^{-1} \hat{\theta} + i\omega \eta \hat{u}_{,x} = & i\omega \eta ((u(-L)\delta(x+L) - u(L)\delta(x-L))) + \\ & + \theta(-L)\delta'(x+L) - \theta(L)\delta'(x-L) + \\ & + \theta_{,x}(-L)\delta(x+L) - \theta_{,x}(L)\delta(x-L) - F_2(x)H(L - |x|), \end{aligned}$$

$\delta(x)$  - функция Дирака. Коротко запишем эту систему в виде

$$\sum_{j=1}^2 D_{kj}(\partial_x) \hat{u}_j(x) = \hat{G}_k(x, w_1, w_2, u'(-L), u'(L), \theta_1, \theta_2, \theta'(-L), \theta'(L)) + \hat{F}_k(x), \quad k = 1, 2.$$

Требуется определить решение (6) при полученной сингулярной правой части, которая зависит от значений искомым функций в граничных точках и их производных.

Решение системы уравнений (6) имеет вид свертки:

$$\hat{u}_k(x) = \sum_{j=1}^2 U_k^j(x, \omega) * \hat{G}_j(x, \dots) + \sum_{j=1}^2 U_k^j(x, \omega) * \hat{F}_j(x), \quad k = 1, 2, \quad (7)$$

где  $U_k^j(x, \omega)$  -- матрица фундаментальных решений системы уравнений (4) (4)

$$\sum_{j=1}^2 D_{kj}(\partial_x)U_j^l(x) = \delta_k^l \delta(x), \quad k, l = 1, 2, \quad (8)$$

$\delta_k^l$  - символ Кронекера. Как известно, если такая свертка существует, то обобщенное решение существует и оно единственно. А если оно регулярное и дифференцируемое, то совпадает с классическим. Подставляя в (7) правую часть (5) и вычисляя, получим решение задачи в виде

$$u(x)H(|x|-L) = F_1 * U_1^1 + F_2 * U_1^2 + \\ + c^2 \sum_{k=1}^2 (-1)^{k+1} \left\{ (p_k - \tilde{\gamma} \theta_k) U_1^1(x - (-1)^k L, \omega) + u_k(\omega) U_{1,x}^1(x - (-1)^k L, \omega) \right\} + \quad (9)_1 \\ + \sum_{k=1}^2 (-1)^{k+1} \left\{ (q_k + i\omega \eta w_k) U_1^2(x - (-1)^k L, \omega) + \theta_k(\omega) U_{1,x}^2(x - (-1)^k L, \omega) \right\}$$

$$\theta(x)H(L-|x|) = F_1 * U_2^1 + F_2 * U_2^2 + \\ + c^2 \sum_{k=1}^2 (-1)^{k+1} \left\{ (p_k - \gamma \theta_k) U_2^1(x - (-1)^k L, \omega) + w_k U_{2,x}^1(x - (-1)^k L, \omega) \right\} + \quad (9)_2 \\ + \sum_{k=1}^2 (-1)^{k+1} \left\{ (q_k + i\omega \eta w_k) U_2^2(x - (-1)^k L, \omega) + \theta_k U_{2,x}^2(x - (-1)^k L, \omega) \right\}$$

Формулы (9) определяют перемещение и температуру внутри стержня по известным перемещениям, напряжениям, температуре и тепловым потокам на его концах. Однако, для каждой краевой задачи известны только четыре граничных значения комплексных амплитуд, например, для КЗ1 известны только перемещение и температура на концах стержня. Для ее решения надо определить напряжения и тепловые потоки на его концах.

Аналогично для других КЗ. Для определения недостающих краевых значений следует использовать краевые условия, исходя из свойств фундаментальной матрицы  $U_k^j(x, \omega)$ .

**3 Матрица фундаментальных решений и ее свойства.** Фундаментальную матрицу  $U_k^j(x, \omega)$  удается построить аналитически с помощью обобщенного преобразования Фурье уравнений (8). Она имеет следующий вид:

$$U_1^j(x, \omega) = \frac{\delta_1^j H_0(x)}{(\lambda_1 - \lambda_2)} \left\{ i\omega \kappa^{-1} \left( \frac{\sin x \sqrt{\lambda_2}}{\sqrt{\lambda_2}} - \frac{\sin x \sqrt{\lambda_1}}{\sqrt{\lambda_1}} \right) + \left( \sqrt{\lambda_1} \sin x \sqrt{\lambda_1} - \sqrt{\lambda_2} \sin x \sqrt{\lambda_2} \right) \right\} - \\ - \frac{\gamma \delta_2^j H_0(x)}{(\lambda_1 - \lambda_2)} (\cos x \sqrt{\lambda_1} - \cos x \sqrt{\lambda_2}), \quad j = 1, 2 \\ U_2^j(x, \omega) = \\ = \frac{H_0(x)}{(\lambda_1 - \lambda_2)} \left\{ i\omega \eta \delta_1^j (\cos x \sqrt{\lambda_1} - \cos x \sqrt{\lambda_2}) - \omega^2 \left( \frac{\sin x \sqrt{\lambda_1}}{\sqrt{\lambda_1}} - \frac{\sin x \sqrt{\lambda_2}}{\sqrt{\lambda_2}} \right) \delta_2^j + \right. \\ \left. + c^2 \left( \sqrt{\lambda_1} \sin x \sqrt{\lambda_1} - \sqrt{\lambda_2} \sin x \sqrt{\lambda_2} \right) \delta_2^j \right\}, \quad j = 1, 2$$

где

$$H_0(x) = H(x) - \frac{1}{2} \equiv \frac{1}{2} (H(x) - H(-x)) \quad (17)$$



(заметим, что риманова поверхность матрицы по  $\omega$  однолиственная, т.к. значения компонент  $U_k^j$  не зависят от выбора знака радикалов  $\sqrt{\lambda_j}$ ).  $U_k^j$  непрерывны в точке  $x=0$ :

$$U_k^j(\pm 0, \omega) = U_k^j(0, \omega) = 0, \quad k, j = 1, 2, \tag{18}$$

а ее производные в этой точке терпят разрыв первого рода:

$$\tilde{U}_1^j{}_{,x}(\pm 0, \omega) = \pm \frac{1}{2} \delta_1^j, \quad \tilde{U}_2^j{}_{,x}(\pm 0, \omega) = \pm \frac{c^2}{2} \delta_2^j \tag{19}$$

(верхнему знаку соответствует левый предел в нуле, нижнему – правый).

### 3 Разрешающие уравнения краевой задачи. Используя (6) и предельные свойства $U_j^i(x, \omega)$

при  $x \rightarrow \pm 0$  (17), (18), из вида решения (9) получим систему из четырех линейных алгебраических уравнений в левой и правой граничных точках для определения четырех неизвестных функций на концах стержня:

$$\begin{aligned} 0.5u_1 &= c^2(\check{\gamma}\theta_2 - p_2) + u_2 U_{1,x}^1(-2L, \omega) - (q_2 + i\omega\eta u_2) U_1^2(-2L, \omega) - \\ &\quad - \theta_2 U_{1,x}^2(-2L, \omega) + \left( \hat{F}_1 * U_1^1 + \hat{F}_2 * U_1^2 \right)_{x=-L} \\ 0.5u_2 &= c^2(p_1 - \check{\gamma}\theta_1) + u_1 U_{1,x}^1(2L, \omega) + (q_1 + i\omega\eta u_1) + \theta_1 U_{1,x}^2(2L, \omega) + \\ &\quad + \left( \hat{F}_1 * U_1^1 + \hat{F}_2 * U_1^2 \right)_{x=L} \\ 0,5\theta_1 &= c^2(\gamma\theta_2 - p_2) U_2^1(-2L, \omega) - c^2 u_2 U_{2,x}^1(-2L, \omega) - \\ &\quad - (q_2 + i\omega\eta u_2) U_2^2(-2L, \omega) + \theta_2 U_{2,x}^2(-2L, \omega) + \left( F_1 * U_2^1 + F_2 * U_2^2 \right)_{x=-L}, \\ 0,5\theta_2 &= \\ &\quad + c^2 \left\{ (p_1 - \gamma\theta_1) U_2^1(2L, \omega) + u_1 U_{2,x}^1(2L, \omega) \right\} + \\ &\quad + \sum_{k=1}^2 (-1)^{k+1} (q_k + i\omega\eta u_k) U_2^2(2L, \omega) + \theta_1 U_{2,x}^2(2L, \omega) + \left( F_1 * U_2^1 + F_2 * U_2^2 \right)_{x=L} \end{aligned} \tag{20}$$

Разрешающую систему уравнений (20) представим в матричном виде:

$$\begin{aligned} &\left\{ \begin{array}{cccc} 0.5 & 0 & 0 & 0 \\ \left( U_{1,x}^1 - i\omega\eta U_1^2 \right)_{(2L)} & -c^2 & \left( \check{\gamma}c^2 - U_{1,x}^2 \right)_{(2L)} & U_1^2(2L, \omega) \\ 0 & 0 & 0.5 & 0 \\ -c \left( {}^2U_{2,x}^1 + i\omega\eta U_2^2 \right)_{(2L)} & c^2 U_2^1(2L, \omega) & \left( \gamma c^2 U_2^1 - U_{2,x}^2 \right)_{(2L)} & -U_2^2(2L, \omega) \end{array} \right\} \times \begin{Bmatrix} w_1 \\ p_1 \\ \theta_1 \\ q_1 \end{Bmatrix} + \\ &\left\{ \begin{array}{cccc} \left( -U_{1,x}^1 + i\omega\eta U_1^2 \right)_{(-2L)} & c^2 & \left( -\check{\gamma}c^2 + U_{1,x}^2 \right)_{(-2L)} & U_1^2(-2L, \omega) \\ 0.5 & 0 & 0 & 0 \\ \left( c^2 U_{2,x}^1 + i\omega\eta U_2^2 \right)_{-2L} & c^2 U_2^1(-2L, \omega) & \left( -\gamma c^2 U_2^1 + U_{2,x}^2 \right)_{-2L} & U_2^2(-2L, \omega) \\ 0 & 0 & 0.5 & 0 \end{array} \right\} \begin{Bmatrix} w_2 \\ p_2 \\ \theta_2 \\ q_2 \end{Bmatrix} = \\ &= \left\{ F_1 * U_1^1 + F_2 * U_1^2 \Big|_{x=-L}, F_1 * U_1^1 + F_2 * U_1^2 \Big|_{x=L}, F_1 * U_2^1 + F_2 * U_2^2 \Big|_{x=-L}, F_1 * U_2^1 + F_2 * U_2^2 \Big|_{x=L} \right\}^T \end{aligned} \tag{21}$$

Из этой системы легко построить линейную систему алгебраических уравнений для любой из рассмотренных краевых задач, оставляя в левой части слагаемые с неизвестными краевыми значениями искомым функций и перенося в правую часть с известными.

Так, например, для КЗ1 неизвестными являются напряжения и тепловые потоки на концах стержня  $(P_1, P_2, q_1, q_2)$ . Тогда из (21) получим

$$\{M_{ij}(L, \omega)\}_{4 \times 4} \begin{pmatrix} p_1 \\ p_2 \\ q_1 \\ q_2 \end{pmatrix} = \begin{pmatrix} b_1(L, \omega) \\ b_2(L, \omega) \\ b_3(L, \omega) \\ b_4(L, \omega) \end{pmatrix} \quad (22)$$

Определитель матрицы  $M_{ij}$  определяет спектр собственных термоупругих колебаний стержня, частоты которых должны удовлетворять характеристическому уравнению

$$\det \{M_{ij}(L, \omega_k)\} = 0, \quad k = 1, 2, \dots \quad (23)$$

В силу (16), это сложное трансцендентное уравнение, корни которого можно определять численно с помощью различных стандартных программ.

В случае собственных колебаний существование решений и его единственность определяется рангом расширенной матрицы системы, который зависит от действующих источников возмущений. Для несобственных колебаний решение системы единственно и его определяем методом Крамера. После определения недостающих граничных функций по формулам (8), (2), определяем перемещения, температуру в стержне.

Для определения термоупругих напряжений подставим решение (9) в (3). В результате получим:

$$\sigma(x, \omega) = \rho c^2 \left( \sum_{j=1}^2 U_{1,x}^j * \hat{G}_j(x, \dots) + \sum_{j=1}^2 U_{1,x}^j * \hat{F}_j(x) \right) - \gamma \theta(x, \omega) \quad (24)$$

где все входящие функции определены выше.

### Заключение

Полученные решения позволяют определять термонапряженное состояние стержневых конструкций при разнообразных геометрических размерах и термоупругих параметрах, а также во всем диапазоне частот колебаний. При этом можно исследовать воздействие на них сосредоточенных тепловых и силовых источников, описываемых сингулярными обобщенными функциями.

Нетрудно видеть, что алгоритм решения сохраняется и для обратных краевых задач, если на одном конце стержня задать не два краевых значения, а три, а на другом одно, недостающее для разрешимости системы (21), или даже 4 значения на одном, при неизвестных значениях на другом. Этот класс полуобратных и обратных задач очень важен для практических приложений при изготовлении разнообразных контроллеров для измерительных приборов для конструкций и сооружений, работающих в условиях переменных термических и динамических воздействий.

### Литература

1. Новацкий В. Динамические задачи термоупругости - М.:Мир, 1970 .
2. Новацкий В. Теория упругости –М.:Мир
3. Владимиров В.С. Обобщенные функции в математической физике. – М., 1978.
4. Алексеева Л.А. Метод обобщенных функций в нестационарных краевых задачах для волнового уравнения// Математический журнал. -Т.6 (2006) , №1(19), с.16-32.
5. Алексеева Л.А., Ахметжанова М. М. Фундаментальные и обобщенные решения уравнений динамики термоупругих стержней // Материаловедение, Бишкек, 2013. – №2, с.46-50.

## ПРОТАИВАНИЕ МЕРЗЛОГО ГРУНТА С УЧЕТОМ ФИЛЬТРАЦИИ ВОДЫ ИЗ ВОДОЕМА

Джаманбаев М.Дж.

Кыргызский государственный технический университет им. И.Раззакова,  
Бишкек, Кыргызская Республика, jamanbaev@mail.ru

Предлагается методика определения глубины протаивания мерзлого грунта под основанием водоема с учетом фильтрации воды из водоема.

**Введение.** Температурный режим мерзлого грунта зависит от скорости инфильтрации и температуры воды в грунте. Фильтрующаяся вода, омывая грунт или полностью ее, насыщая, влияет на процесс переноса тепла, т.е. заметно увеличивают эффективную теплопроводность грунта и тем самым способствуют увеличению теплового потока извне в грунт. Поэтому достоверность определения глубины протаивания мерзлого грунта под основанием водоема зависит от учета фильтрации и температуры воды в водоеме и в грунте. Существуют различные математические модели, описывающие температурно-фильтрационный режим грунта. Если происходит просачивание воды в грунте под влиянием разности давлений или под действием собственного веса, то в таких случаях свободная конвекция отсутствует, и температурный режим воды и грунта описываются известными уравнениями теплопереноса и фильтрации

$$\frac{\partial T}{\partial \tau} = \alpha_x \frac{\partial^2 T}{\partial x^2} + \alpha_y \frac{\partial^2 T}{\partial y^2} + \alpha_z \frac{\partial^2 T}{\partial z^2} + \beta_v (Q - T);$$

$$\frac{\partial Q}{\partial \tau} + v_x \frac{\partial Q}{\partial x} + v_y \frac{\partial Q}{\partial y} + v_z \frac{\partial Q}{\partial z} = \alpha^* (T - Q), \quad (1)$$

где  $T(x,y,z,\tau)$  - температура грунта;  $Q(x,y,z,\tau)$  - температура фильтрующей воды;  $\tau$  - время;  $\alpha_x, \alpha_y, \alpha_z$  - коэффициенты теплопроводности грунта, насыщенного водой по осям;

$v_x, v_y, v_z$  - компоненты скорости фильтрации по осям;  $\alpha^* = \frac{\alpha_v}{C_E \rho_B}$ ;  $\beta_v = \frac{\alpha_v}{C_{\Gamma} \rho_{\Gamma}}$

$\alpha_v$  - объемный коэффициент теплообмена, характеризующий теплообмен между грунтом и омывающей его фильтрующей жидкостью; удельная объемная теплоемкость воды и грунта;  $\rho_E, \rho_{\Gamma}$  - плотности воды и грунта.

Система уравнений (1) описывает изменение температуры фильтрующей воды при прохождении через пористую проницаемую среду и ее отличие от температуры пористой среды. Теплообмен между водой и грунтом характеризуется параметром - коэффициентом объемного теплообмена. При длительном процессе теплопереноса, температуру грунта и температуру фильтрующей воды можно считать равными. Тогда уравнения (1) упрощаются, и сводятся к уравнению Фурье-Кирхгофа [1]

$$\frac{\partial T}{\partial \tau} = \alpha_x \frac{\partial^2 T}{\partial x^2} + \alpha_y \frac{\partial^2 T}{\partial y^2} + \alpha_z \frac{\partial^2 T}{\partial z^2} - \frac{C_{\Gamma} \gamma_{\Gamma}}{C_B \gamma_B} \left( v_x \frac{\partial T}{\partial x} + v_y \frac{\partial T}{\partial y} + v_z \frac{\partial T}{\partial z} \right) \quad (2)$$

**Постановка задачи.** Рассматривается процесс протаивания мерзлого грунта под основанием водоема глубиной  $H$  под влиянием температуры воды. Изначально грунт глубиной  $L$  считается мерзлой. Затем начинается наполнение водоема. Зимой вода на дне водоема не замерзает, т.е. имеет плюсовую температуру. Под влиянием плюсовой температуры начинается процесс протаивания. Температурно-фильтрационный процесс под основанием водоема можно рассматривать как одномерный процесс.

**Математическая модель.** Поскольку теплоперенос под основанием водоема происходит длительное время (годами) можно предположить, что температура грунта и температура фильтрующейся воды одинаковыми, т.е. принимается модель Фурье-Кирхгофа (2). В зоне талого грунта учитывается фильтрация воды из водоема, а в зоне мерзлого грунта фильтрация не учитывается.

$$\left. \begin{aligned} \frac{\partial T_T}{\partial t} &= a_T \frac{\partial^2 T_T}{\partial x^2} - v \frac{\partial T_T}{\partial x}, \quad 0 \leq x \leq h, & (1) \\ \frac{\partial T_M}{\partial t} &= a_M \frac{\partial^2 T_M}{\partial x^2}, \quad h \leq x \leq L & (2) \end{aligned} \right\}$$

Начально-граничные условия имеют вид:

$$\begin{aligned} t=0; \quad x \in [0, L]; \quad T_M &= f_1(x). \\ x=0, \quad T_T &= T_B, \\ x=h, \quad T_T &= T_M = T_0 \end{aligned}$$

$$x=L, \quad T_M = T_1, \quad (3)$$

где соответственно -  $T_0, T_1$  температура таяния мерзлого грунта и температура вечной мерзлоты. Условие сопряжения на границе талого и мерзлого грунта описывается уравнением:

$$\lambda_T \left[ \frac{\partial T_T}{\partial x} \right]_{x=h} - \lambda_M \left[ \frac{\partial T_M}{\partial x} \right]_{x=h} = q_0 w \gamma \frac{\partial h}{\partial t}, \quad (4)$$

где  $T_T$  – температура зоны талого грунта, являющаяся решением начально-краевой задачи (1)-(3);  $T_M$  – температура мерзлого грунта, также являющееся решением начально-краевой задачи (2)-(3);  $T_B$  – температура воды;  $T_n$  – температура дна пруда;  $a_T, a_M, \lambda_T, \lambda_M$  – коэффициенты температуропроводности и теплопроводности грунта в талых и мерзлых грунтах;  $h$  – глубина протаивания;  $w$  – количество льда в грунте;  $q_0$  – теплота плавления льда,  $\gamma$  – удельный вес грунта,  $v$  – скорость фильтрации воды из водоема.

**Методика решения** аналогична работам [2]. Используя идею метода конечных элементов (МКЭ) строится аналитическое решение начально-краевой задачи (1)-(3), удовлетворяющее начальным и граничным условиям задачи отдельно для талой зоны и для мерзлой зоны. В качестве базисных функций для мерзлой зоны используются линейно-независимые частные решения уравнения теплопроводности (2)

$$\left[ \begin{aligned} T_1 &= e^{\sqrt{2\pi/a} x} \cos(\sqrt{2\pi/a} x - 4at), \\ T_2 &= e^{\sqrt{2\pi/a} x} \sin(\sqrt{2\pi/a} x - 4at). \end{aligned} \right] \quad (5)$$

Аналитическое решение в мерзлой зоне имеет вид

$$\begin{aligned} N_i^k(x, t, a) &= \frac{T_2(x_j, t, a) * T_1(x, t, a) - T_2(x_{i-1}, t, a) * T_1(x_j, t, a)}{T_2(x_j, t, a) * T_1(x_i, t, a) - T_2(x_i, t, a) * T_1(x_j, t, a)}, \\ N_j^k(x, t, a) &= \frac{T_2(x_{i-1}, t, a) * T_1(x_i, t, a) - T_2(x_i, t, a) * T_1(x_{i-1}, t, a)}{T_2(x_j, t, a) * T_1(x_i, t, a) - T_2(x_i, t, a) * T_1(x_j, t, a)} \end{aligned} \quad (7)$$

аналоги функции формы МКЭ т.е. при  $x = x_i, N_i=1, N_j=0$ ; (k) – номер элемента. Для построения аналитического решения для талой зоны используется преобразование вида

$$T(x, t, a) = e^{\frac{v(x-vt)}{2a}} U(x, t, a), \quad (8)$$

которое преобразует уравнение (1) к виду

$$\frac{\partial U}{\partial t} = a \frac{\partial^2 U}{\partial x^2}, \quad (9)$$

где  $U(x, t, a)$  – новая неизвестная функция. Она находится как решение соответствующей краевой задачи через преобразование (8),  $a$  – коэффициент температуропроводности. Тогда аналитическое решение начально-краевой задачи (1)-(3) запишется

$$T_T(x, t, a) = e^{\frac{v(x-vt)}{2a}} (N_i(x, t, a)U_i + N_j(x, t, a)U_j), \quad (10)$$

где  $U_i = T_i e^{\frac{-v_i(x_i-v_i t)}{2a}}, \quad U_j = T_j e^{\frac{-v_j(x_j-v_j t)}{2a}}, \quad N_i, N_j$  – имеют вид как и (7).

Начальная область мерзлого грунта длиной  $L$  разбивается на два элемента. Первый элемент начинается от дневной поверхности до фронта таяния, которая является неизвестной и подвижной. Второй элемент начинается от фронта таяния до вечной мерзлоты глубины  $L$ . В начальный момент заполнения водоема, длина первого элемента (зона таяние) будет очень маленькой по сравнению со второй. С течением времени этот элемент будет увеличиваться т.е. происходит таяние мерзлого грунта под влиянием температуры воды в водоеме, а длина второго элемента будет уменьшаться. Подвижная точка (фронт таяния) находится численно решением обыкновенной дифференциальной уравнении первого порядка (4) методом Рунге-Кутты.

Особенность данной методики решения задачи заключается в следующем: 1) известность аналитического решения начально-краевой задачи, позволило снять ограничения на шаг по времени в расчете

уравнении (4) и принималась равной неделе. Расчеты проводились на период одного года; 2) в отличие от других методов здесь используется только три заданные температуры: на дне водоема поддерживается постоянная температура воды, на фронте таяния - постоянная температура  $+0.01C^0$  (температура плавления льда), которая двигается вместе с фронтом таяния и на конце глубины  $L$  поддерживается постоянная минусовая температура (вечная мерзлота)  $-1.86C^0$ ; 3) Используя данные температуры в каждые моменты времени на каждом элементе численно находятся коэффициенты температуропроводности как решение трансцендентной уравнении

$$N_i^{(2)}(x, t, b) * T_B + N_j^{(2)}(x, t, b) * T_0 = T^*,$$

$$e^{\frac{v(x-vt)}{2a}} (N_{1i}^{(1)}(x, t, a) * U_{10} + N_{1j}^{(1)}(x, t, a) * U_{11}) = T^{**},$$

где  $T^*$ ,  $T^{**}$  средние значения температуры в середине каждого элемента. Согласно изложенного алгоритма произведен расчет в двух вариантах.

**Вариант 1.** Процесс протаивания под основанием водоема рассматривается без учета фильтрации воды из водоема. Исходные данные считались равными.  $\lambda_T = 1.24$ ,  $\lambda_M = 1.54$ .  $L = 21m$ . Температура воды на дне водоема считалась равной  $+6^0C$ . Результаты показывают, что в течении года глубина протаивания достигает  $4.51m$ .

**Вариант 2.** Процесс протаивание под основанием водоема рассматривается с учетом глубины водоема равной  $H=8m$  и фильтрации воды из водоема. Математически исследуемый процесс моделируется уравнениями (1)- (4). Исходные данные были те же, что и в предыдущем варианте, а коэффициент фильтрации считалась равным  $kf=0.0312$ , пористость  $pr=0.22$ . Скорость фильтрации вычислялась по формуле Дарси. В этом случае глубина протаивание в течении года достигла до  $6.45m$ . График результатов расчета приведены на рис.1. По оси ОУ приведены глубина протаивания, по оси ОХ приведены время в сутках.

**Вариант 3.** Рассматривается этот же случай, но глубина воды водоема на два метра больше, т.е. глубина считалась равной  $10m$ . В этом случае скорость фильтрации была больше чем в предыдущем варианте и глубина протаивание достигла за один год до  $8.58m$ . Подъем уровня воды в пруде на два метра приводит увеличению зоны таяния мерзлого грунта на  $2.13m$ .

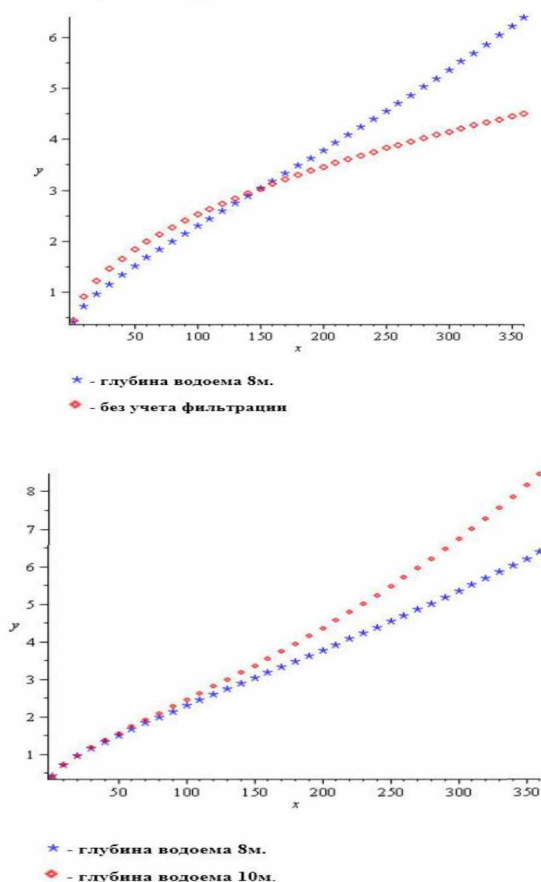


Рис. 1. Глубина протаивания

**Вывод.** Глубина протаивания под основанием водоема значительно зависит от уровня воды в пруде и от скорости фильтрации воды из водоема.

**Литература**

1. Джаманбаев М.Дж. Методы решения коэффициентных задач процессов переноса. Известия КГТУ им. И.Раззакова, № 22, с. 99-104. Бишкек-2011.
2. Джаманбаев М.Дж., Кадыркулова С. Методика расчета теплопереноса в горных породах. Известия Кыргызского технического университета им. И. Раззакова, № 7-Бишкек-2005.-с.129 -133.

УДК 532.546.2

**ТЕМПЕРАТУРНЫЙ РЕЖИМ ТЕЛА ПЛОТИНЫ И ОСНОВАНИЯ ВОДОХРАНИЛИЩА**

*Джаманбаев М.Дж., Чыныбаев М.К.  
Кыргызский государственный технический университет им. И.Раззакова,  
jamanbaev@mail.ru, chynubaev@gmail.com*

*В статье приводятся результаты расчетов температурного режима основания водохранилища совместно с телом и основанием плотины.*

*The article presents the results of calculations of temperature base of tailings together with the body and the base of the dam.*

**Введение.** Из-за неизвестности теплофизических свойств хвоста и размера области расположения хвостов на дне пруда и на верхнем бьефе плотины временно рассмотрено температурный режим области основания хвостохранилища, а водохранилища близкой к условиям хвостохранилища.

**Математическая модель.** Существуют различные математические модели, описывающие температурно-фильтрационный режим грунта. Если происходит просачивание воды в грунте под влиянием разности давлений или под действием собственного веса, то в таких случаях свободная конвекция отсутствует, и температурный режим воды и грунта описываются известными уравнениями теплопереноса и фильтрации

$$\frac{\partial T}{\partial \tau} = \alpha_x \frac{\partial^2 T}{\partial x^2} + \alpha_y \frac{\partial^2 T}{\partial y^2} + \alpha_z \frac{\partial^2 T}{\partial z^2} + \beta_v(Q - T);$$

$$\frac{\partial Q}{\partial \tau} + v_x \frac{\partial^2 Q}{\partial x^2} + v_y \frac{\partial^2 Q}{\partial y^2} + v_z \frac{\partial^2 Q}{\partial z^2} = \alpha^*(T - Q), \tag{1}$$

где  $T(x,y,z,\tau)$  - температура грунта;  $Q(x,y,z,\tau)$  - температура фильтрующей воды;  $\tau$  - время;  $\alpha_x, \alpha_y, \alpha_z$  - коэффициенты теплопроводности грунта, насыщенного водой, по осям;  $v_x, v_y, v_z$  - компоненты скорости фильтрации по осям;

$$\alpha^* = \frac{\alpha_v}{C_B \rho_B}; \beta_v = \frac{\alpha_v}{C_T \rho_T}$$

где  $\alpha_v$  - объемный коэффициент теплообмена, характеризующий теплообмен между грунтом и омывающей его фильтрующей жидкостью;  $C_B, C_T$  - удельная объемная теплоемкость воды и грунта;  $\rho_B, \rho_T$  - плотности воды и грунта.

Система уравнений (1) описывает изменение температуры фильтрующей воды при прохождении через пористую проницаемую среду и ее отличие от температуры пористой среды. Теплообмен между водой и грунтом характеризуется параметром – коэффициентом объемного теплообмена. При длительном процессе теплопереноса, температуру грунта и температуру фильтрующей воды можно считать равными. Тогда уравнения (1) упрощаются, и сводится к уравнению Фурье-Кирхгофа [1]

$$\frac{\partial T}{\partial \tau} = \alpha_x \frac{\partial^2 T}{\partial x^2} + \alpha_y \frac{\partial^2 T}{\partial y^2} + \alpha_z \frac{\partial^2 T}{\partial z^2} - \frac{C_T \gamma_T}{C_B \gamma_B} \left( v_x \frac{\partial T}{\partial x} + v_y \frac{\partial T}{\partial y} + v_z \frac{\partial T}{\partial z} \right) \tag{2}$$

Если в начальный момент грунт полностью насыщен водой и фильтрация воды отсутствует и начинается нагрев грунта, то из-за разности температуры воды, в грунте начинается свободная конвекция воды. Такой процесс описывается уравнениями Брикмана[2] и уравнением теплопереноса:

$$\frac{\mu}{k} u + \nabla p - \nabla \cdot \frac{\mu}{\varepsilon} (\nabla u + (\nabla u)^T) = pg\beta(T - T_c) \tag{3}$$

$$\nabla \cdot u = 0$$

**Вывод.** Глубина протаивания под основанием водоема значительно зависит от уровня воды в пруде и от скорости фильтрации воды из водоема.

#### **Литература**

1. Джаманбаев М.Дж. Методы решения коэффициентных задач процессов переноса. Известия КГТУ им. И.Раззакова, № 22, с. 99-104. Бишкек-2011.
2. Джаманбаев М.Дж., Кадыркулова С. Методика расчета теплопереноса в горных породах. Известия Кыргызского технического университета им. И. Раззакова, № 7-Бишкек-2005.-с.129 -133.